

05;07  
©1993

**ОПРЕДЕЛЕНИЕ СООТНОШЕНИЯ  
ВЕЛИЧИН СИЛЫ ОСЦИЛЛЯТОРА  
ДЛЯ ЦЕНТРОВ ОКРАСКИ  
В АМОРФНЫХ ПЛЕНКАХ  
 $\text{WO}_3$  И  $\text{MoO}_3$**

*А.И.Гаврилюк*

Интерес, проявляемый к аморфным пленкам (АП)  $\text{WO}_3$  и  $\text{MoO}_3$ , во многом обусловлен легкостью образования в них окраски (ЦО). ЦО в пленках  $\text{WO}_3$  и  $\text{MoO}_3$  могут создаваться инжекцией водородных атомов [1].

Обычно концентрация ЦО в  $\text{WO}_3$  и  $\text{MoO}_3$  определяется по формуле Смакулы [2]

$$N \cdot f = 8.7 \cdot 10^{16} \cdot \frac{n}{(n^2 + 2)^2} \cdot \alpha_{\max} \cdot U_{0.5}, \quad (1)$$

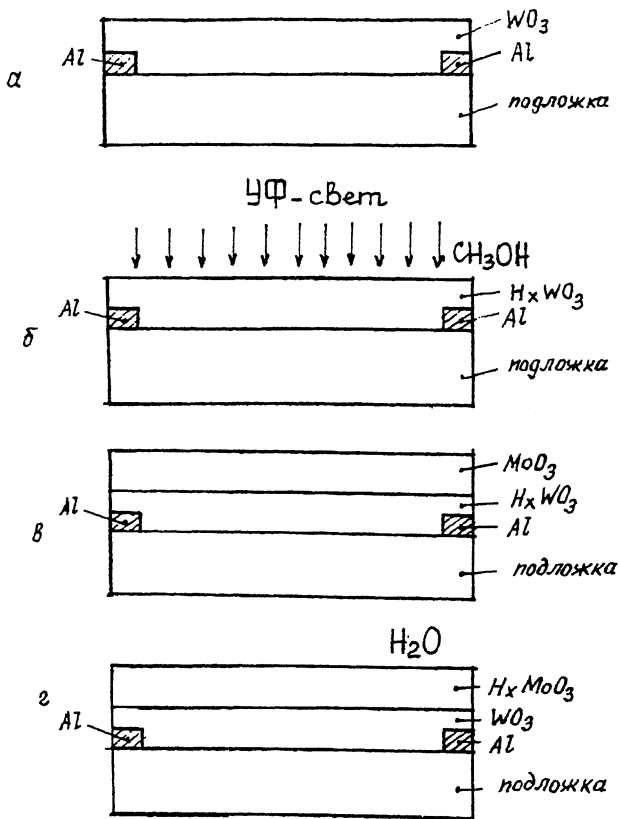
где  $N$  — концентрация ЦО,  $\text{см}^{-3}$ ;  $n$  — показатель преломления;  $\alpha_{\max}$  — коэффициент поглощения в максимуме полосы поглощения,  $\text{см}^{-1}$ ;  $\Delta U_{0.5}$  — полуширина полосы поглощения, эВ;  $f$  — сила осциллятора оптического перехода.

Сила осциллятора  $f$ , определяющая вероятность оптического перехода в окрашенных АП  $\text{WO}_3$  и  $\text{MoO}_3$ , является важным параметром, по которому оценивается перспективность материала для использования в электрохромных и фотохромных системах [1].

Однако точное определение величины  $f$  для АП  $\text{WO}_3$  и  $\text{MoO}_3$  связано с серьезными трудностями. Ранее величина  $f$  определялась по данным ЭПР или по измерению инжектированного в пленки электрического заряда [3,4]. Обе эти методики не свободны от недостатков, так как далеко не все ЦО в  $\text{WO}_3$  и  $\text{MoO}_3$  являются парамагнитными, а инжектированный заряд тратится не только на образование ЦО.

В последнее время величина  $f$  для поликристаллических и АП  $\text{WO}_3$  была определена с помощью ядерной реакции  ${}^2\text{D}({}^3\text{He}, p){}^{\alpha}$  и фотоспилловера водорода в пленочной структуре, состоящей из поликристаллического и аморфного слоев  $\text{WO}_3$  [1]. По данным [1], величина  $f$  составила  $f = 0.35$  для поликристаллических пленок  $\text{WO}_3$  и  $f = 0.3$  для АП  $\text{WO}_3$ .

Определение таким же способом значения  $f$  для ЦО в АП  $\text{MoO}_3$  невозможно, так как работа выхода электронов



**Рис. 1.** Схема получения двухслойной пленочной структуры: *а* — после нанесения АП  $\text{WO}_3$ , *б* — после инжекции водорода в АП  $\text{WO}_3$ , *в* — после нанесения АП  $\text{MoO}_3$ , *г* — после выдержки двухслойной структуры в парах  $\text{H}_2\text{O}$ . Толщина АП  $\text{WO}_3$   $d = 1.06$  мкм, толщина АП  $\text{MoO}_3$   $d = 1.25$  мкм.

для АП  $\text{MoO}_3$  много больше работы выхода электронов для кристаллических пленок  $\text{WO}_3$  и миграция водорода из АП  $\text{MoO}_3$  не наблюдается даже при очень высоких уровнях инжекции в  $\text{MoO}_3$  [1].

Поэтому в данной работе была использована новая методика, позволившая определить соотношение величин сил осциллятора для ЦО в АП  $\text{WO}_3$  и  $\text{MoO}_3$  в одном эксперименте.

Первоначально на кварцевую подложку с алюминиевыми электродами методом термического испарения в вакууме наносилась АП  $\text{WO}_3$  (рис.1, *а*).

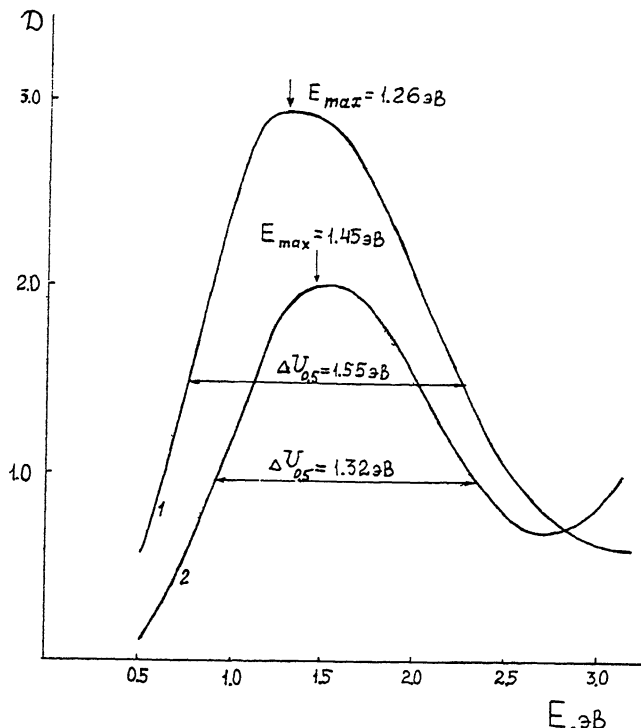


Рис. 2. Спектры оптической плотности  $D$ : 1 — для пленки  $\text{WO}_3$  после инжекции водорода, 2 — для двухслойной пленочной структуры после выдержки в парах воды.

Сразу же после нанесения пленка  $\text{WO}_3$  помещалась в герметичную кювету с кварцевым окном. Кювета откачивалась до давления  $p = 10^{-2}$  мм рт. ст., после чего откачка прекращалась, и в кювету напускались пары метанола ( $\text{CH}_3\text{OH}$ ), давление которых составляло  $p = 40$  мм рт. ст. После этого АП  $\text{WO}_3$  облучалась в течение 30 мин нефильтрованным светом ртутной лампы ПРК-4 мощностью 250 Вт. Расстояние между лампой и облучаемой пленкой составило 25 см. Как известно [1], при данном процессе происходит инжекция атомов водорода в  $\text{WO}_3$  в результате их фотоотщепления от молекул  $\text{CH}_3\text{OH}$ , адсорбированных на поверхности оксида. Образуются водородовольфрамовые бронзы  $\text{H}_x\text{WO}_3$  (рис. 1, б). Удельное сопротивление пленки уменьшилось от  $\rho = 10^4$  Ом · см перед облучением до  $\rho = 19.5$  Ом · см после облучения. После облучения изменился также спектр поглощения пленки  $\text{WO}_3$  (рис. 2, кривая 1).

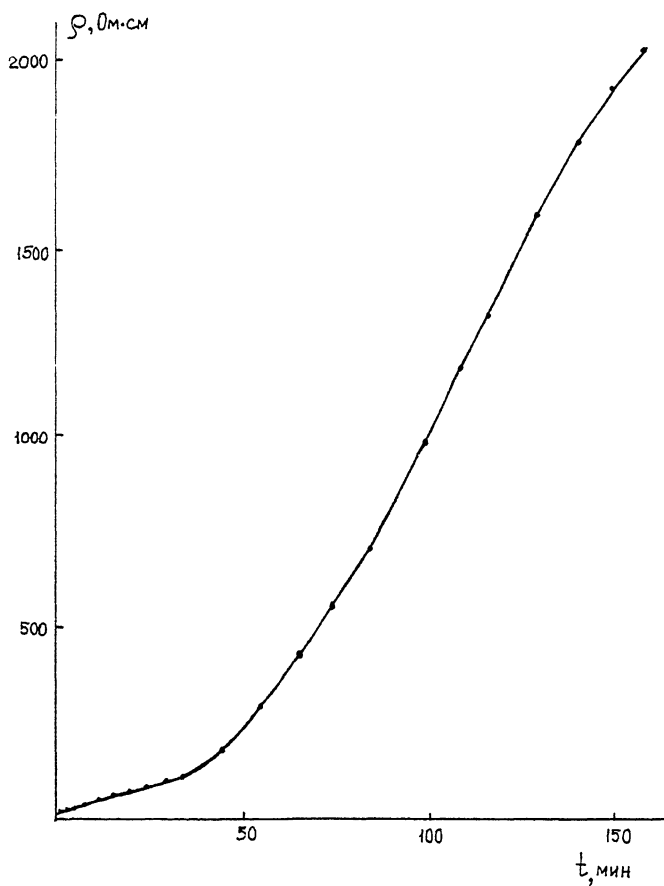


Рис. 3. Зависимость удельного сопротивления  $\rho$  двухслойной структуры от времени выдержки  $t$  в парах воды.

Затем на подложку с пленкой  $H_xWO_3$  методом термического вакуумного испарения наносилась АП  $MoO_3$  (рис. 1, в).

Сопротивление пленки  $H_xWO_3$  измерялось в течение всего вакуумного цикла и практически не изменялось как во время откачки, так и во время нанесения пленки  $MoO_3$ . Также не наблюдалось изменения сопротивления полученной двухслойной структуры при ее длительной вакуумной откачке.

Изменение сопротивления двухслойной структуры наблюдалось при прекращении откачки и напуске в камеру паров воды, давление которых составляло  $p = 0.2$  мм рт. ст. (рис. 3). Примерно через сутки рост удельного сопро-

тивления практически прекращался, достигнув значения  $\rho = 2.8 \cdot 10^4$  Ом · см.

Образец извлекался из камеры, и измерялся спектр поглощения пленочной структуры (рис. 2, кривая 2). Из сравнения кривых 1 и 2 видно, что в спектре произошли изменения: наблюдается сдвиг максимума полосы поглощения от  $E = 1.26$  к  $E = 1.45$  эВ, а также уменьшение интенсивности полосы поглощения. Полоса поглощения, представленная кривой 2, полностью идентична полосе поглощения, возникающей в АП MoO<sub>3</sub> при их облучении УФ светом [5]. Это позволяет сделать вывод о том, что причиной изменения спектра поглощения и увеличения сопротивления пленочной структуры явилась диффузия водорода из АП WO<sub>3</sub> в АП MoO<sub>3</sub> по сетке водородных связей молекул воды, адсорбированных в порах пленок.

Если считать, что все ЦО мигрируют из WO<sub>3</sub> в MoO<sub>3</sub>, не учитывать потери на отражение и принять во внимание, что показатели преломления АП WO<sub>3</sub> и MoO<sub>3</sub> одинаковы и равны  $n = 2.2$  [6,7], то можно легко получить выражение, определяющее соотношение величин силы осциллятора оптического перехода для АП WO<sub>3</sub> и MoO<sub>3</sub>. Используя формулу (1), получим

$$\frac{f_1}{f_2} = \frac{D_{1\max} \cdot \Delta U_{10.5}}{D_{2\max} \cdot \Delta U_{20.5}}, \quad (2)$$

где  $D$  — оптическая плотность, индекс 1 — для WO<sub>3</sub>, индекс 2 — для MoO<sub>3</sub>. Значения  $D_{\max}$  и  $U_{0.5}$  могут быть определены непосредственно из рис. 2:  $D_{1\max} = 2.92$ ,  $D_{2\max} = 2.0$ ,  $U_{10.5} = 1.55$  эВ,  $U_{20.5} = 1.32$  эВ. Подставив эти значения в выражение (2), получим  $f_1 : f_2 = 1.7$ . Если использовать величину  $f = 0.3$ , полученную в [1] для АП WO<sub>3</sub>, то тогда для АП MoO<sub>3</sub> величина силы осциллятора составит  $f = 0.18$ .

Используя полученные величины силы осциллятора, можно вычислить параметры делокализации электронов, захваченных на катионы переходного металла при образовании центров окраски. Для этого можно использовать выражение [8]:

$$f = 0.09 E_{\text{opt}} \cdot 6\xi^2 \cdot r^2, \quad (3)$$

где  $f$  — сила осциллятора,  $E$  — энергия, соответствующая максимуму полосы поглощения,  $\xi^2$  — параметр делокализации,  $r$  — среднее расстояние между соседними катионами, Å. Множитель 6 указывает на число катионов, окружающих каждый центр окраски в первой координационной сфере. Подставив в (3) значения  $E_{\text{opt}} = 1.26$  эВ и  $r = 3.8$  Å [9] для АП WO<sub>3</sub>, и  $E_{\text{opt}} = 1.45$  эВ и  $r = 3.9$  Å [9] для АП MoO<sub>3</sub>,

получим для  $\text{WO}_3$   $\xi^2 = 0.03$ , для  $\text{MoO}_3$  —  $\xi^2 = 0.015$ . Параметр делокализации  $\xi^2$  определяет долю времени, которое электрон, локализованный на определенном узле, проводит на каждом из шести соседних узлов катионной подрешетки. Таким образом, степень локализации электрона для ЦО в АП  $\text{WO}_3$  составляет 82, а для ЦО в АП  $\text{MoO}_3$  91%. Разница в степени локализации электрона и определяет большое различие в величине сопротивления АП  $\text{WO}_3$  и  $\text{MoO}_3$  при одинаковой концентрации ЦО.

В заключение автор выражает благодарность Ф.А. Чудновскому за поддержку и интерес к работе.

### Список литературы

- [1] Гаврилюк А.И. Фотохромизм в тонких пленках триоксида молибдена и триоксида вольфрама. В кн.: А.И. Гаврилюк, Н.А. Секущин. Электрохромизм и фотохромизм в оксидах вольфрама и молибдена. Л., 1990. С. 40–100.
- [2] Dexter D.L. // Sol. State Phys. V. 6. P. 370–385.
- [3] Клеперис Я.Я., Цикмач П.Д. // Электрохромизм. Рига, 1987. С. 83–99.
- [4] Yoshimura T. // J. Appl. Phys. 1985. V. 57. N 3. P. 911–919.
- [5] Deb S.K., Choopoorian J.A. // J. Appl. Phys. 1966. V. 37. P. 4818–4825.
- [6] Deb S.K. // Phil. Mag. 1973. V. 27. N 4. P. 801–822.
- [7] Tubbs M.R. // Phys. Status Sol. A. 1974. V. 21. N 2. P. 253–260.
- [8] Faughnan B.W., Crandall R.S., Heyman P.M. // RCA Rev. 1975. V. 36. P. 177–197.
- [9] Раманс Г.М., Палмальниекс А.А. // Электрохромизм. Рига, 1987. С. 67–82.

Физико-технический  
институт им. А.Ф. Иоффе РАН  
Санкт-Петербург

Поступило в Редакцию  
23 августа 1993 г.